

文章编号: 1000-324X(2015)07-0739-06

DOI: 10.15541/jim20150003

Ni 替代对锂离子电池材料 LiMnTiO_4 性能的影响

张栩, 王禹, 李悦, 杨猛, 赵相玉, 马立群

(南京工业大学 材料科学与工程学院, 南京 210009)

摘要: 采用溶胶-凝胶法结合固相反应制备了具有立方尖晶石结构的 $\text{LiMn}_{1-x}\text{Ni}_x\text{TiO}_4$ ($x=0, 0.1, 0.2, 0.3$) 锂离子电池正极材料。通过场发射扫描电镜(FESEM)观察材料的表面形貌, 所制备的材料均呈现出典型的烧结体特征; 用 X 射线衍射仪(XRD)分析材料的物相变化, Ni 替代前后均产生杂相 TiO_2 , 但没有产生与替代元素相关的杂相。通过循环伏安、恒电流充放电等测试研究样品的电化学性能。结果表明: LiMnTiO_4 有两对氧化还原峰, 分别对应 $\text{Mn}^{3+}/\text{Mn}^{4+}$ 、 $\text{Mn}^{3+}/\text{Mn}^{2+}$ 的转变, 而 Ni 替代后出现了额外的氧化还原对, 即 $\text{Ni}^{3+}/\text{Ni}^{4+}$ 的转变。 $\text{LiMn}_{1-x}\text{Ni}_x\text{TiO}_4$ ($x=0.1, 0.2, 0.3$) 的电化学性能均优于 LiMnTiO_4 , 尤其当 Ni 替代量为 0.1 时, $\text{LiMn}_{0.9}\text{Ni}_{0.1}\text{TiO}_4$ 在 30 mA/g 电流密度下的首次放电容量为 171.6 mAh/g, 48 次循环后容量为 162.8 mAh/g, 容量保持率为 82.7%。对 $\text{LiMn}_{0.9}\text{Ni}_{0.1}\text{TiO}_4$ 进行非原位 XRD 测试发现, 材料一次循环后结构无明显变化, 不存在立方相与四方相之间的转变。

关键词: 锂离子电池; LiMnTiO_4 ; Ni 替代; 溶胶-凝胶法

中图分类号: TQ174 文献标识码: A

Effect of Nickle Substitution on the Performance of Lithium Ion Battery Material LiMnTiO_4

ZHANG Xu, WANG Yu, LI Yue, YANG Meng, ZHAO Xiang-Yu, MA Li-Qun

(College of Materials Science and Engineering, Nanjing University of Technology, Nanjing 210009, China)

Abstract: Spinel $\text{LiMn}_{1-x}\text{Ni}_x\text{TiO}_4$ ($x=0, 0.1, 0.2, 0.3$) cathode materials were prepared by Sol-Gel method. The surface morphology and phase structure of $\text{LiMn}_{1-x}\text{Ni}_x\text{TiO}_4$ ($x=0, 0.1, 0.2, 0.3$) were characterized by FESEM and XRD. FESEM analysis indicated all the samples consisted of irregular particles and XRD patterns showed that all the materials had impurity TiO_2 , but there were no impurities related to Ni element. Electrochemical studies of doped and undoped spinels were carried out by cyclic voltammetry (CV) and constant current charge-discharge. CV results showed that LiMnTiO_4 had two couples of sharp redox peaks corresponding to $\text{Mn}^{3+}/\text{Mn}^{4+}$, $\text{Mn}^{2+}/\text{Mn}^{3+}$ redox reactions. However, after Ni substitution, there appeared the third redox coupled, which was related to the $\text{Ni}^{3+}/\text{Ni}^{4+}$ redox reaction. $\text{LiMn}_{1-x}\text{Ni}_x\text{TiO}_4$ ($x=0.1, 0.2, 0.3$) exhibited improved electrochemical properties compared with LiMnTiO_4 . When the Ni substitution was 0.1, the first discharge capacity of $\text{LiMn}_{0.9}\text{Ni}_{0.1}\text{TiO}_4$ was 171.6 mAh/g at current density of 30 mA/g, and after 48 charge-discharge cycles, the discharge capacity was 162.8 mAh/g, with the capacity retention of 82.7%. The Ex XRD pattern of $\text{LiMn}_{0.9}\text{Ni}_{0.1}\text{TiO}_4$ showed that the material structure had no changes after the first cycle, and there was no transition between cubic phase and tetragonal phase.

收稿日期: 2015-01-30; 收到修改稿日期: 2015-02-09

基金项目: 国家自然科学基金(51404142); 江苏省自然科学基金(BK20140936); 教育部高等学校博士点基金(20133221110009); 江苏高校优势学科建设工程(PAPD)

National Natural Science Foundation of China (51404142); Natural Science Foundation of Jiangsu Province (BK20140936); Specialized Research Fund for the Doctoral Program of Higher Education (20133221110009); Priority Academic Program Development of Jiangsu Higher Education Institution(PAPD)

作者简介: 张栩(1990-), 女, 硕士研究生. E-mail: happyyizhan@163.com

通讯作者: 马立群, 教授. E-mail: maliquan@njtech.edu.cn; 杨猛, 讲师. E-mail: yangmengyy@njtech.edu.cn

Key words: lithium ion batteries; LiMnTiO₄; Ni substitution; Sol-Gel

新一代化学电源锂离子二次电池,由于具有高的能量密度和功率密度、高电压、自放电率低、无记忆效应、轻型化、无污染等独特优势,而迅速成为最具有发展前景的新型蓄电池。而锂离子电池正极材料将直接影响到锂电池的性能。目前已经商品化的正极材料有层状的 LiCoO₂、LiNi_{1/3}Co_{1/3}Mn_{1/3}O₂, 橄榄石型的 LiFePO₄ 及尖晶石型的 LiMn₂O₄^[1]。尖晶石 LiMn₂O₄ 具有原料便宜、无毒和电压平台高等优点,是锂离子电池理想的正极材料。但是它在充放电循环中容量容易衰减,主要原因如下:1)表面 Mn³⁺发生歧化反应和电解液中酸的侵蚀引起 Mn 的溶解,产生的 Mn²⁺溶解到电解液中,造成容量损失;2)Mn³⁺引起的 Jahn-Teller 效应。Jahn-Teller 效应导致晶体结构中发生立方相向四方相的转变,晶格参数 c/a 值增大,结构出现较大收缩与膨胀,阻碍了锂离子传输的通道,破坏了尖晶石晶格,使颗粒间的接触松散,造成 Li⁺脱嵌困难^[2-3]。

改善电极材料循环性能大致有两类方法:一是对正极材料的表面包覆,主要是在活性材料表面包覆一层氧化物或非氧化物颗粒,使电解液和锂电池正极活性物质之间的接触面积变小,减少电解液的分解,提高材料在高温下的循环寿命;二是对其掺杂改性,也称为内部结构修饰。掺杂改性包括阳离子掺杂、阴离子掺杂及混合离子掺杂,例如: Geng 等^[4]用模板法将 Al 掺杂到 LiMn_{1.5}Ni_{0.5}O₄ 中发现,Al 能增强材料的稳定性,提高容量, LiMn_{1.5}Ni_{0.5}O₄ 的容量在 70~120 mAh/g 之间,Al 掺杂后,其容量提高到 140 mAh/g, 200 次循环后容量保持率达 70%; LIU 等^[5]将 B 取代 LiMnPO₄ 中 10%(原子比)的 P 能显著提高电极的循环性能及高倍率性能;适量复合掺杂阴阳离子 Al-F 能提高锂离子正极材料 Li(Ni_{1/3}Co_{1/3}Mn_{1/3})O₂ 的结晶度,改善层状结构,从而大大改善其循环性能^[6]。

对于 LiMn₂O₄ 材料,适量掺杂合适元素可以稳定材料结构,抑制锰的溶解,抑制 Jahn-Teller 效应^[7]。近年来有研究发现^[8-9], Ti⁴⁺替代 LiMn₂O₄ 中的 Mn⁴⁺可以很好地抑制 Jahn-Teller 效应。Ti-O 键键能为 662 kJ/mol, 高于 Mn-O 键的 402 kJ/mol, 能形成更稳定的[Mn_{2-x}Ti_x]O₄ 结构,从而抑制 Jahn-Teller 效应。此外,Ti 替代能使部分 Mn³⁺还原为 Mn²⁺,降低导致 Jahn-Teller 效应的 Mn³⁺的浓度,在抑制 Jahn-Teller 效应的同时提高放电容量,但与理论放电容量相比还有一定差距。在研究尖晶石 LiMn₂O₄ 时发现, Ni 替代 Mn(LiMn_{1.5}Ni_{0.5}O₄) 提高了电极材料

的放电容量和循环稳定性^[10-11]。为了提高 LiMnTiO₄ 的放电容量,本工作采用溶胶-凝胶法结合固相反应制备 LiMn_{1-x}Ni_xTiO₄(x=0、0.1、0.2、0.3),研究 Ni 替代对 LiMnTiO₄ 电化学性能的影响。

1 实验方法

1.1 LiMn_{1-x}Ni_xTiO₄(x=0、0.1、0.2、0.3)的制备

按照化学计量比,称取一定量的乙酸锂、乙酸锰、乙酸镍及钛酸四丁酯,溶于无水乙醇中,采用集热式磁力搅拌器 80℃恒温搅拌 24 h,再在鼓风干燥箱中 80℃干燥 12 h 得干凝胶前驱体,将其研磨后置于箱式炉中 650℃焙烧 10 h,即可制得尖晶石结构 LiMn_{1-x}Ni_xTiO₄(x=0、0.1、0.2、0.3)活性材料。

1.2 实验分析仪器

Rigaku D/Max-2500 型 X 射线衍射仪,日本理学公司;测试时采用 Cu 靶 K α 辐射。HITACHI S-4800 型高分辨场发射扫描电子显微镜(FESEM),日本日立公司;CHI660D 型电化学工作站,上海辰华仪器有限公司;BT2000 型 Arbin 多通道电池测试系统,美国阿宾公司。

1.3 电极制备及电池组装

将制备好的活性物质与导电剂(乙炔黑)、粘结剂(PVDF)按质量比 8:1:1 配料。将导电剂和活性物质在玛瑙质研钵中进行充分研磨,并将分散剂与粘结剂(PVDF)在烧杯中充分搅拌,可得到有一定粘度的浆液,用刮刀将其均匀涂覆于铝箔(集流体)上。然后将其置于真空干燥箱中进行恒温(100℃)烘干,持续 12 h 以上,以去除分散剂。将表面涂覆活性物质的铝箔作为正极,锂片作为负极,聚丙烯多孔膜作为隔膜,1 mol/L LiPF₆/EC-DMC-EMC(体积比 1:1:1)作为电解液,在氩气保护的手套箱内组装成模拟电池。

2 结果与讨论

2.1 样品的结构与形貌表征

图 1 是 LiMn_{1-x}Ni_xTiO₄ (x=0、0.1、0.2、0.3) 的 XRD 图谱,从图中可以看出,未替代时, LiMnTiO₄ 各衍射峰强而尖锐,主相为典型的立方尖晶石结构(空间群为: Fd-3m),含有部分 TiO₂ 杂相(杂相含量如表 1 所示)。Ni 替代后,没有出现与替代元素有关的其它衍射峰, TiO₂ 杂相仍然存在,但随着 Ni 含量

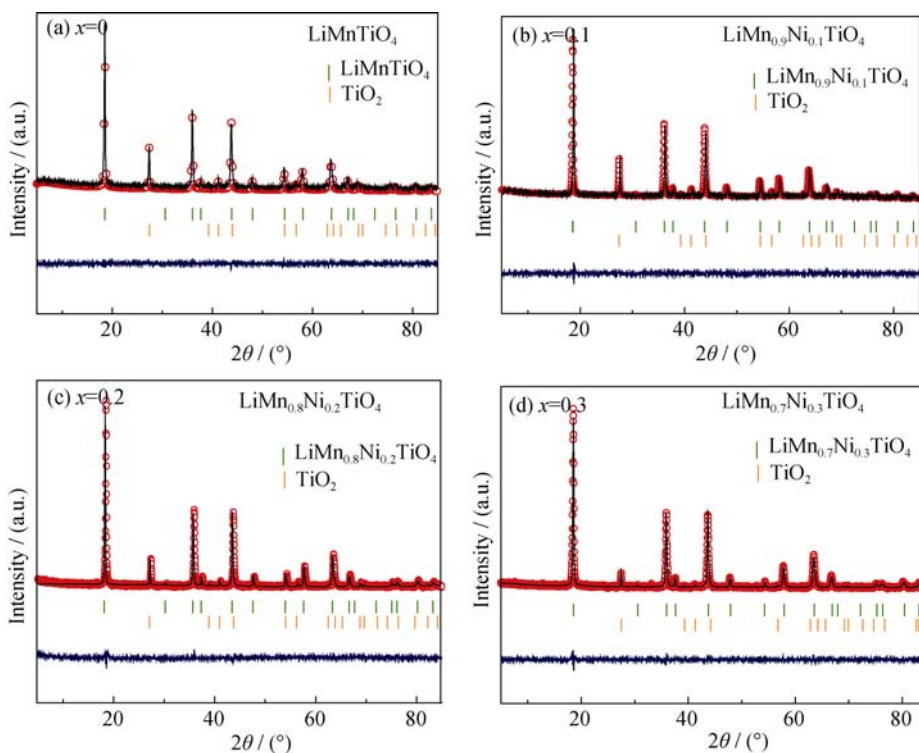


图 1 $\text{LiMn}_{1-x}\text{Ni}_x\text{TiO}_4$ 的 XRD 图谱
Fig. 1 XRD patterns of $\text{LiMn}_{1-x}\text{Ni}_x\text{TiO}_4$

的增加, 杂相的含量逐渐减少(如表 1 所示)。从表 1 也可以看出, Ni 替代对晶胞参数及晶胞体积的影响无规律可循。当 Ni 的替代量为 0.1 时, 晶格参数变小, 晶胞体积收缩, 这是由于 Ni^{3+} 的离子半径(0.056 nm)小于 Mn^{3+} 的离子半径(0.066 nm), Ni 替代后晶格收缩。另外 Ni–O 的键能(1029 kJ/mol)都比 Mn–O 的键能(946 kJ/mol)大^[12], 使得平均键强增大, 键长减小, 晶格参数变小, 晶胞体积发生收缩, 从而提高材料的稳定性^[13]。但是, 当 Ni 的替代量为 0.2、0.3 时, 晶胞参数反而变大, 晶胞发生膨胀, 这可能是由于 TiO_2 杂相的含量减少造成的。 TiO_2 杂相含量减少, 说明有更多的 Ti 进入到晶格中, 使得化合物更接近化学计量, 化合物中由 Ti^{4+} 缺失引起的空位也会明显降低, 最终出现晶格膨胀, 晶胞体积增大的现象。

表 1 $\text{LiMn}_{1-x}\text{Ni}_x\text{TiO}_4$ ($x=0$ 、0.1、0.2、0.3)精修后晶胞参数比较

Table 1 Rietveld refinement results of $\text{LiMn}_{1-x}\text{Ni}_x\text{TiO}_4$
($x=0$, 0.1, 0.2, 0.3)

Samples	a/nm	V/nm^3	Impurity (TiO_2)/wt%
LiMnTiO_4	8.258	563.182	19.1
$\text{LiMn}_{0.9}\text{Ni}_{0.1}\text{TiO}_4$	8.253	562.049	21.0
$\text{LiMn}_{0.8}\text{Ni}_{0.2}\text{TiO}_4$	8.266	564.786	15.1
$\text{LiMn}_{0.7}\text{Ni}_{0.3}\text{TiO}_4$	8.287	569.225	6.8

图 2 是 $\text{LiMn}_{1-x}\text{Ni}_x\text{TiO}_4$ ($x=0$ 、0.1、0.2、0.3) 的 FESEM 照片, 由图可知, Ni 替代前后, 样品在形貌上均没有明显的区别, 都呈现典型的烧结体团聚现象, 且团聚体由许多细小的不规则颗粒组成, 这些细小颗粒尺寸分布在 50~100 nm 范围内。这一结果表明, Ni 替代对材料的形貌特征没有明显的影响。

2.2 电化学性能

图 3 给出的是 $\text{LiMn}_{1-x}\text{Ni}_x\text{TiO}_4$ ($x=0$ 、0.1、0.2、0.3) 电极在 30 mA/g 的电流密度下测得的前三次充放

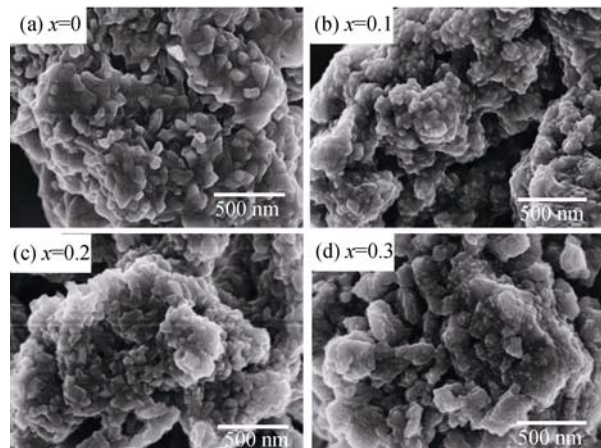


图 2 $\text{LiMn}_{1-x}\text{Ni}_x\text{TiO}_4$ 的 FESEM 照片
Fig. 2 FESEM images of $\text{LiMn}_{1-x}\text{Ni}_x\text{TiO}_4$

电曲线。LiMnTiO₄电极首次充电时在4.1 V左右出现了一个电压平台，对应Mn³⁺/Mn⁴⁺的转变；而在放电时分别在4.1 V和2.9 V附近出现明显的电压平台，对应于Mn⁴⁺/Mn³⁺以及Mn³⁺/Mn²⁺之间的转变^[8]。Ti⁴⁺在2.0~4.8 V电压区间内没有电化学活性，但图3中在1.5~2.0 V电压范围内，放电曲线均出现不太明显的斜坡，可能是由Li⁺在TiO₂中嵌入造成的，这在一定程度上增加了电极材料的放电容量^[14-15]。复合材料体系的放电容量一般都高于原始电极材料的放电容量，类似协同效应在LiFePO₄-Li₃V₂(PO₄)₃复合材料中也有报道^[16]。Ni替代之后，LiMn_{1-x}Ni_xTiO₄在4.7 V附近出现对应于Ni³⁺/Ni⁴⁺转变的电压平台，且Ni含量越高，此处电压平台

越明显。当x=0.3时，Mn³⁺/Mn⁴⁺之间的转变已经被Ni³⁺/Ni⁴⁺转变所取代。比较四种电极的充放电容量发现，电极材料均呈现出良好的可逆性，充电容量和放电容量几乎一致。从表2可以看出，Ni替代后，三种电极首次放电容量均明显高于原始LiMnTiO₄电极，这主要与Ni参与电化学反应有关。值得注意的是当x=0.3时，LiMn_{0.7}Ni_{0.3}TiO₄电极在前三次充放电过程中，充放电容量出现明显的衰减，三次循环之后放电容量由初始的216.9 mAh/g衰减为155.1 mAh/g。如此大的容量衰减可能是由于过多Ni取代之后，在充电后期大量强氧化性高价Ni⁴⁺离子氧化电解液所致^[16]。由此看来，采用Ni取代Mn，取代的量不宜过多。

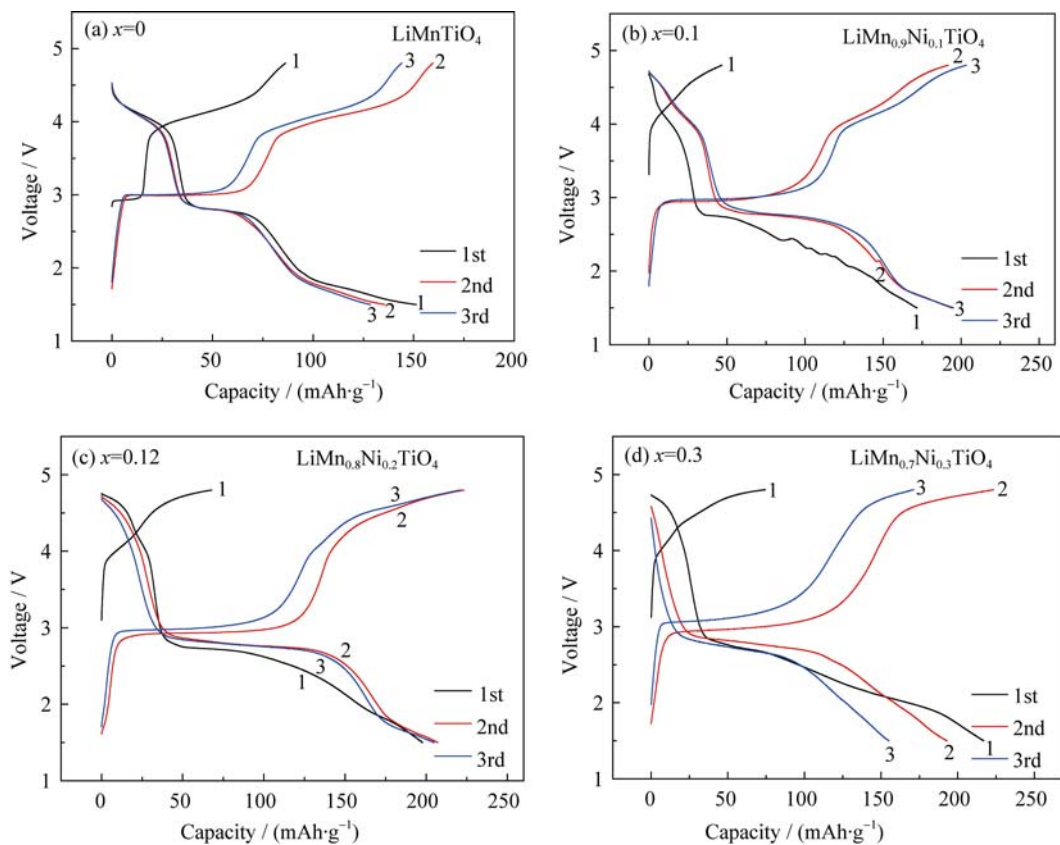


图3 LiMn_{1-x}Ni_xTiO₄前3次充放电曲线

Fig. 3 The first three charge and discharge curves of LiMn_{1-x}Ni_xTiO₄

表2 LiMn_{1-x}Ni_xTiO₄(x=0、0.1、0.2、0.3)前3次容量

Tabel 2 The first three discharge capacities of LiMn_{1-x}Ni_xTiO₄(x=0, 0.1, 0.2, 0.3)

Samples(including TiO ₂)	1st discharge capacity/ (mAh·g ⁻¹)	2nd discharge capacity/ (mAh·g ⁻¹)	3rd discharge capacity/ (mAh·g ⁻¹)
LiMnTiO ₄	151.2	135.7	128.6
LiMn _{0.9} Ni _{0.1} TiO ₄	171.6	193.9	195.0
LiMn _{0.8} Ni _{0.2} TiO ₄	197.7	207.1	204.7
LiMn _{0.7} Ni _{0.3} TiO ₄	216.9	193.0	155.1

图 4 显示的是 $\text{LiMn}_{1-x}\text{Ni}_x\text{TiO}_4$ ($x=0, 0.1, 0.2, 0.3$) 电极在 30mA/g 电流密度下, $1.5\sim4.8\text{ V}$ 区间内室温下测得的循环稳定性曲线。 LiMnTiO_4 与 $\text{LiMn}_{0.7}\text{Ni}_{0.3}\text{TiO}_4$ 电极在最初的循环中, 容量均出现明显的衰减, 4 次循环之后容量衰减趋于平稳。 $\text{LiMn}_{0.9}\text{Ni}_{0.1}\text{TiO}_4$ 与 $\text{LiMn}_{0.8}\text{Ni}_{0.2}\text{TiO}_4$ 则是容量先有所上升达到最大值, 再开始缓慢衰减。表 3 是 $\text{LiMn}_{1-x}\text{Ni}_x\text{TiO}_4$ ($x=0, 0.1, 0.2, 0.3$) 48 次循环后容量保持率的比较。 LiMnTiO_4 在 48 次循环后, 放电容量为 109.0 mAh/g , 容量保持率为 72.1% 。而 $\text{LiMn}_{0.9}\text{Ni}_{0.1}\text{TiO}_4$ 放电容量提高最为明显, 48 次循环后放电容量为 162.8 mAh/g , 容量保持率为 82.7% 。

为了进一步分析 Ni 替代对 LiMnTiO_4 的影响, 图 5 给出了容量提高最为明显的 $\text{LiMn}_{0.9}\text{Ni}_{0.1}\text{TiO}_4$ 及 LiMnTiO_4 的循环伏安(CV)特性曲线。从图 5 可以看出, LiMnTiO_4 电极在 $2.0\sim4.8\text{ V}$ 的电压范围内存在两对明显的氧化还原峰 A/B 和 C/D, 其中 A/B 对应于 $\text{Mn}^{3+}/\text{Mn}^{4+}$ 之间的转变, C/D 对应于 $\text{Mn}^{3+}/\text{Mn}^{2+}$ 的转变。另外, 在 $1.5\sim2.0\text{ V}$ 电压区间内出现了电流急剧增大的现象, 这与 TiO_2 杂相中 Li^+ 嵌入反应有关^[14], 但是在氧化过程并没有观察到相应明显的 Li^+ 离子脱出过程, 这可能是 TiO_2 电化学活性不高造成的。相比之下, $\text{LiMn}_{0.9}\text{Ni}_{0.1}\text{TiO}_4$ 电极在 $4.5\sim5\text{ V}$ 的电压范围内出现了额外的氧化还原对 E/F, 代表 $\text{Ni}^{3+}/\text{Ni}^{4+}$

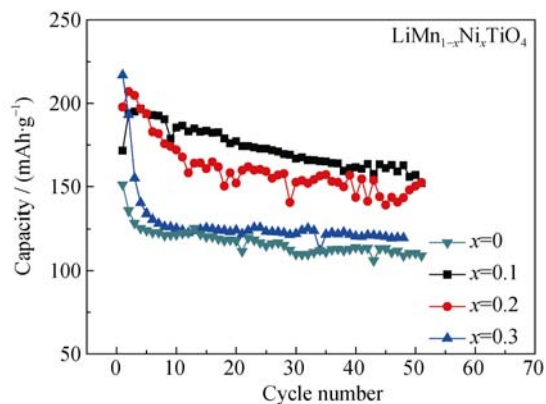


图 4 $\text{LiMn}_{1-x}\text{Ni}_x\text{TiO}_4$ 循环稳定性曲线

Fig. 4 Cycling performance of $\text{LiMn}_{1-x}\text{Ni}_x\text{TiO}_4$

之间的转变^[17-18]。另外, 从上述氧化还原反应对应的峰电位发现, Ni 替代之后, 相互对应的氧化还原反应之间电位差都有明显降低。例如, Ni 替代之后, A/B 之间的电位差由 0.9 V 减小为 0.3 V , C/D 之间的电位差由 0.3 V 减小为 0.05 V 。这一结果表明 Ni 替代之后明显降低了氧化还原过程的电极极化, 利于电化学反应的进行。

YANG 等^[8]研究认为 Ti 替代尖晶石 LiMn_2O_4 的材料中, Ti 替代能抑制 Jahn-Teller 效应, 抑制立方相与四方相的转变, 从而提高充放电过程中尖晶石结构的稳定性, 提高循环稳定性。为了进一步分析充

表 3 $\text{LiMn}_{1-x}\text{Ni}_x\text{TiO}_4$ ($x=0, 0.1, 0.2, 0.3$) 在 48 次循环后的放电容量及容量保持率比较

Tabel 3 Electrochemical performance of $\text{LiMn}_{1-x}\text{Ni}_x\text{TiO}_4$ ($x=0, 0.1, 0.2, 0.3$) after 48 cycles

Samples(including TiO_2)	1st discharge capacity/ (mAh·g ⁻¹)	48th discharge capacity/ (mAh·g ⁻¹)	Capacity retention/%
LiMnTiO_4	151.2	109.0	72.1
$\text{LiMn}_{0.9}\text{Ni}_{0.1}\text{TiO}_4$	171.6	162.8	82.7
$\text{LiMn}_{0.8}\text{Ni}_{0.2}\text{TiO}_4$	197.7	143.4	72.5
$\text{LiMn}_{0.7}\text{Ni}_{0.3}\text{TiO}_4$	216.9	119.5	55.1

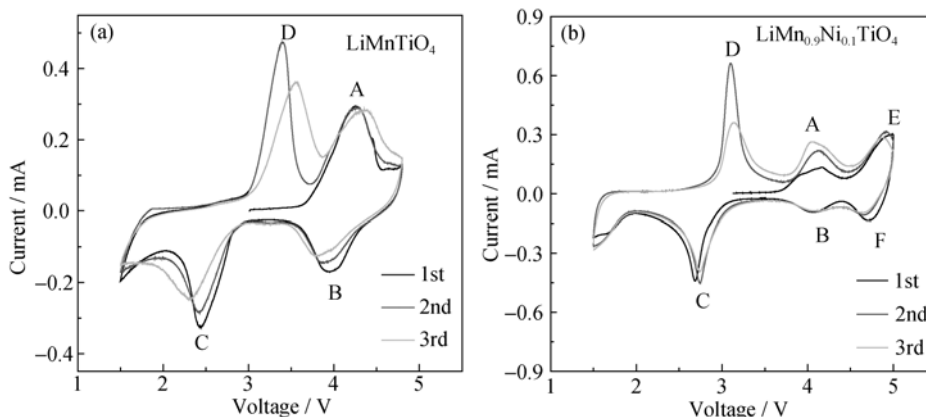


图 5 (a) LiMnTiO_4 和(b) $\text{LiMn}_{0.9}\text{Ni}_{0.1}\text{TiO}_4$ 循环伏安曲线

Fig. 5 Cyclic voltammogram of (a) LiMnTiO_4 and (b) $\text{LiMn}_{0.9}\text{Ni}_{0.1}\text{TiO}_4$

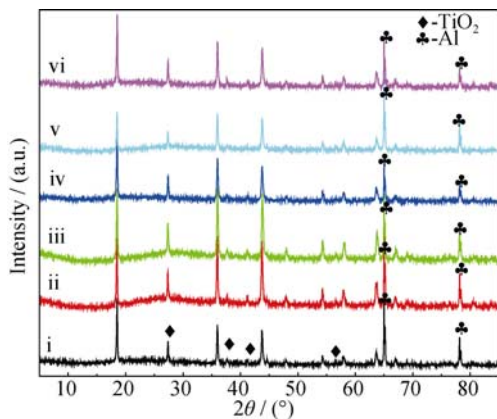


图 6 $\text{LiMn}_{0.9}\text{Ni}_{0.1}\text{TiO}_4$ 一次循环后的非原位 XRD 图谱

Fig. 6 Ex XRD patterns of $\text{LiMn}_{0.9}\text{Ni}_{0.1}\text{TiO}_4$ after the first cycle

i: As-prepared; ii: Charged to 4 V; iii: Charged to 4.8 V; iv: Discharged to 4.5 V; v: Discharged to 3.75 V; vi: Discharged to 2.9 V

放电过程 $\text{LiMn}_{0.9}\text{Ni}_{0.1}\text{TiO}_4$ 结构的变化, 文中给出了不同充放电状态的 XRD 图谱, 如图 6 所示, 从图中可以看出, $\text{LiMn}_{0.9}\text{Ni}_{0.1}\text{TiO}_4$ 在充放电过程中均没有出现立方相到四方相的转变, 原有的立方尖晶石结构仍然存在, 表明 Ni 替代后, 此类材料具有稳定的结构。

3 结论

1) Ni 替代未改变 LiMnTiO_4 的尖晶石结构及面貌特征, 也没有产生与替代元素相关的杂相。

2) 采用 Ni 取代 Mn, 取代的量不宜过多, 替代量过多, 电极材料的充放电容量会出现明显衰减。

3) 当 Ni 替代量为 0.1 时, LiMnTiO_4 的电化学性能有了明显提高, $\text{LiMn}_{0.9}\text{Ni}_{0.1}\text{TiO}_4$ 在 48 次循环后放电容量为 162.8 mAh/g, 容量保持率为 82.7%。这主要归功于 Ni 替代后降低了氧化还原过程的电极极化, 从而利于电化学反应的进行。

参考文献:

- [1] MA XIAO-LING. The research status of lithium batteries. *Science & Technology Information*, 2012, **17**: 240.
- [2] 熊礼龙. 尖晶石 LiMn_2O_4 正极材料的体相掺杂和表面包覆改性研究. 西安: 西安交通大学博士学位论文, 2011.
- [3] SCROSATI B. Recent advances in lithiumion battery materials. *Electrochimica Acta*, 2000, **45(15/16)**: 2461–2466.
- [4] GENG SHU-DONG, ZHAI YU-CHUN. Effect of cobalt doping on the performance of lithium ion battery material LiMn_2O_4 . *Journal of Materials and Metallurgy*, 2014, **13(3)**: 233–236.

- [5] LIU X L, LI D, MO Q L, GUO X Y, et al. Facile synthesis of aluminum-doped $\text{LiNi}_{0.5}\text{Mn}_{1.5}\text{O}_4$ hollow microspheres and their electrochemical performance for high-voltage Li-ion batteries. *Journal of Alloys and Compounds*, 2014, **609**: 54–59.
- [6] HU C L, YI H H, WANG F X, et al. Boron doping at P-site to improve electrochemical performance of LiMnPO_4 as cathode for lithium ion battery. *Journal of Power Sources*, 2014, **255**: 355–359.
- [7] 廖力. 阴阳离子复合掺杂 $\text{Li}(\text{Ni}_{1/3}\text{Co}_{1/3}\text{Mn}_{1/3})\text{O}_2$. 湘潭: 湘潭大学硕士学位论文, 2006.
- [8] WANG S H, YANG J, WU X B, et al. Toward high capacity and stable manganese-spinel electrode materials: a case study of Ti-substituted system. *Journal of Power Sources*, 2014, **245**: 570–578.
- [9] CHEN R Y, KNAPP M, YAVUZ M, et al. Reversible Li^+ storage in a LiMnTiO_4 spinel and its structural transition mechanisms. *The Journal of Physical Chemistry C*, 2014, **118**: 12608–12616.
- [10] GU X, LI X W, XU L Q, et al. Synthesis of Spinel $\text{LiNi}_x\text{Mn}_{2-x}\text{O}_4$ ($x=0, 0.1, 0.16$) and their high rate charge-discharge performances. *Journal of Electrochemical Science*, 2012, **7(3)**: 2504–2512.
- [11] WANG F X, XIAO S Y, SHI Y, et al. Spinel $\text{LiNi}_x\text{Mn}_{2-x}\text{O}_4$ as cathode material for aqueous rechargeable lithium batteries. *Electrochimica Acta*, 2013, **93**: 301–306.
- [12] LUO FEI, ZHANG LIN, GUO YU-ZHONG, et al. Influence of Ni, Cr Substitution on spinel lithium manganese oxides crystal Structure and electrochemical performance. *Journal of Kunming University of Science and Technology (Natural Science Edition)*, 2014, **39(2)**: 19–22.
- [13] YI TING-FENG, HU XIN-GUO, HUO HUI-BING, et al. Review of research on spinel cathode materials $\text{LiM}_{0.5}\text{Mn}_{1.5}\text{O}_4$ for 5 V lithium ion battery. *Rare Metal Materials and Engineering*, 2006, **35(9)**: 1350–1353.
- [14] SHIN J Y, SAMUELIS D, MAIER J. Sustained lithium-storage performance of hierarchical, nanoporous antase TiO_2 at high rates: emphasis on interfacial storage phenomena. *Adv. Funct. Mater*, 2011, **21**: 3464–3472.
- [15] ARILLO M A, CUELLO G, LÓPEZ M L, et al. Structural characterisation and physical properties of LiMMnO_4 (M=Cr, Ti) spinels. *Solid State Sci*, 2005, **7**: 25–32.
- [16] GUO X D, ZHONG B H, LIU H, et al. Electrochemical performance of $\text{LiFePO}_4\text{-Li}_3\text{V}_2(\text{PO}_4)_3$ composite matperial prepared by solid-hydrothermal method. *Trans. Nonferrous Met. Soc. China*, 2011, **21**: 1761–1766.
- [17] 吴宇平 戴晓兵, 马军旗. 锂离子电池—应用与实践. 北京: 化学工业出版社, 2004: 143.
- [18] LIN M, WANG S H, GONG Z L, et al. A strategy to improve cyclic performance of $\text{LiNi}_{0.5}\text{Mn}_{1.5}\text{O}_4$ in a wide voltage region by Ti-doping. *Journal of the Electrochemical Society*, 2013, **160(5)**: A3036–A3040.